

等方性乱流の準定常 エネルギースペクトル

関学大 理 田辺憲一・今村勤

§1 まえがき

乱流の統計理論の一つの方法として Wiener-Hermite 展開法がある。^{1)~4)} その利点としては、(1)この展開はガウス分布プラス補正項という展開であり、ガウス分布に近い現象を扱うのに適している。従って又高次近似への移行も機械的である。

(2)確率関数そのものを扱うので、幾つかの相関関数だけではなく一旦積分核が判ると全ての統計量が計算できる。又、このとき負のエネルギーのような不都合は起らない。(3)時間的に変る ideal random function を用いた展開では、適当にその時間依存性をとることにより、非線形の効果のうち大部分をガウス分布に「くりこみ」、かなり長時間、展開による近似を保たせる可能性がある。

もし未知の確率分布がガウス分布に近い事が判つていれば時間的に変る ideal random function を適当にとつて必ずその

未知の分布が展開の始めの数項でよく近似される筈である。よく発達した一様な乱流では、実験的に速度分布は複合ガウス分布に近い事が知られている。^{5), 6)} 一方理論的には次元解析からコルモゴロフ・スペクトル等が提唱されているが、その仮定となるエネルギーの単位時間あたりの供給率 ϵ と粘性率 ν との独立性には疑問の余地がある。^{7), 8)} 従って実際に運動方程式の解として、かなり長時間 Wiener-Hermite 展開の数項でよく近似された準定常的な特解が得られるかどうか、又その解のエネルギー・スペクトルはどの様なものか、調べる事は有意義と思われる。「かなり長時間」とは具体的にどの程度かという事だが、例えば準定常エネルギー・スペクトルを求める時、その準定常スペクトルに近いスペクトルから出発した解が準定常と考えられるスペクトルの形に近づく傾向を示す事が判る位長の間近似が保たれればよいであろう。

以下に於て、動粘性率 ν を 0.01 にとり、系の代表的な速さの単位 U_0 、波数の単位 k_0 が夫々 1, 0.5 位である様な初期値をとる。従って乱れのレイノルズ数は大体 10^2 である。

圧縮性流体に対する Wiener-Hermite 展開の概要を § 2 に述べ、ideal random function の適当な時間的変化を導入する。§ 3 で展開の始めの二項をとった初期値問題の数值積分を行い、その結果を § 4 で議論する。

§ 2. 非圧縮性流体に対する Wiener-Hermite 展開

非圧縮性流体に対して、速度場 $\vec{u}(\vec{x}, t)$ の Fourier 変換に対する Navier-Stokes 方程式は

$$(\partial_t + \nu \vec{k}^2) \Delta_{ab}(\vec{k}) u_b(\vec{k}, t) + i \Delta_{ab}(\vec{k}) \int u_c(\vec{k}-\vec{k}', t) k'_c u_b(\vec{k}', t) d\vec{k}' = 0 \quad (1)$$

である。ここで $\Delta_{ab}(\vec{k}) = [\vec{k}^2 \delta_{ab} - k_a k_b] / \vec{k}^2$ であり、Einstein の和の約束を使う、例えば (1) において b, c については 1 から 3 までの和をとるものとする。

時間的に変る ideal random function を用いた Wiener-Hermite 展開により $\vec{u}(\vec{k}, t)$ は、空間的な等方性を仮定して

$$u_a(\vec{k}, t) = K^{(1)}_{ab}(\vec{k}, t) H_b^{(1)}(\vec{k}, t) + i \int K^{(2)}_{abc}(\vec{k}-\vec{k}', \vec{k}, t) H_c^{(2)}(\vec{k}', t) d\vec{k}' + \dots \quad (2)$$

の様に書ける。 $K^{(n)}$ は普通の関数、 $H^{(n)}$ は時間的に変る ideal random function の Hermite 汎関数である。 $H^{(n)}$ の充すべき性質は例えば $\langle \dots \rangle$ を統計的平均を表わすとして、

$$\langle H_a^{(n)} a_1(\vec{k}_1, \vec{k}_2, \dots, \vec{k}_n) \rangle = 0$$

$$\langle H_a^{(1)}(\vec{k}) H_b^{(1)}(\vec{l}) \rangle = \delta_{ab} \delta(\vec{k} + \vec{l})$$

$$\langle H_a^{(1)}(\vec{k}) H_b^{(1)}(\vec{l}) H_c^{(1)}(\vec{m}, \vec{n}) \rangle = \delta_{ac} \delta(\vec{k} + \vec{m}) \cdot \delta_{bd} \delta(\vec{l} + \vec{n}) + \delta_{ad} \delta(\vec{k} + \vec{n}) \delta_{bc} \delta(\vec{l} + \vec{m})$$

の様になる。^{3), 4)}

ideal random function の時間的依存性を

$$\partial_t H_a^{(1)}(\vec{k}, t) = i \int L_{abc}^{(2)}(\vec{k}-\vec{k}', \vec{k}, t) H_c^{(2)}(\vec{k}', t) d\vec{k}' + \dots \quad (3)$$

の様に仮定しよう。⁴⁾ 以下 $K^{(n)}, H^{(n)}, L^{(n)}$ の变数 t を省略する。又一般性を失わずに対称性、 $K_{abc}^{(2)}(\vec{k}, \vec{l}) = K_{acb}^{(2)}(\vec{l}, \vec{k})$, $L_{abc}^{(2)}(\vec{k}, \vec{l}) = L_{acb}^{(2)}(\vec{l}, \vec{k})$

を仮定できる。ideal random function であるために $L^{(2)}$ を充すべき条件は

$$L_{abc}^{(2)}(\vec{k}, \vec{l}) + L_{bca}^{(2)}(\vec{l}, -\vec{k}-\vec{l}) + L_{cab}^{(2)}(-\vec{k}-\vec{l}, \vec{k}) = 0 \quad (4)$$

である。⁴⁾

方程式 (2), (3) に於いて $H^{(2)}$ の項まで近似すると、 $K^{(1)}, K^{(2)}$ に対する方程式は

$$(\partial_t + \nu \vec{k}^2) \Delta_{ac}(\vec{k}) K_{cb}^{(1)}(\vec{k}) = -2 \Delta_{ac}(\vec{k}) \int [K_{cde}^{(2)}(\vec{k}-\vec{k}, \vec{k}) L_{bed}^{(2)}(-\vec{k}, \vec{k}-\vec{k}) d\vec{k} \\ + 2 \Delta_{ac}(\vec{k}) k_d \int [K_{de}^{(1)}(\vec{k}-\vec{k}) K_{ceb}^{(2)}(\vec{k}-\vec{k}, \vec{k}) + K_{deb}^{(2)}(-\vec{k}, \vec{k}) K_{cd}^{(1)}(\vec{k})] d\vec{k}] \quad (5)$$

$$(\partial_t + \nu |\vec{k}+\vec{l}|^2) \Delta_{ad}(\vec{k}+\vec{l}) K_{dbc}^{(2)}(\vec{k}, \vec{l}) = -\Delta_{ad}(\vec{k}+\vec{l}) K_{de}^{(1)}(\vec{k}+\vec{l}) L_{ebc}^{(2)}(\vec{k}, \vec{l}) \\ - \frac{1}{2} \Delta_{ad}(\vec{k}+\vec{l})(\vec{k}+\vec{l})_e [K_{ebc}^{(1)}(\vec{k}) K_{dc}^{(1)}(\vec{l}) + K_{ec}^{(1)}(\vec{l}) K_{db}^{(1)}(\vec{k})] \\ - 2 \int K_{efc}^{(2)}(\vec{k}, \vec{l}) K_{dfb}^{(2)}(-\vec{k}, \vec{k}) d\vec{k} - 2 \int K_{efb}^{(2)}(\vec{k}, \vec{k}) K_{dfc}^{(2)}(-\vec{k}, \vec{l}) d\vec{k} \quad (6)$$

となる。簡単のため $K^{(1)}, K^{(2)}$ の初期値を実数にとると、 $L^{(2)}$ を実数にとる限り、すなはち実数である。3-mode model や Bergers 系の時には ideal random function の時間的変化を適当にとったのがガウス部分のくりこみによつて、 $K^{(2)} K^{(2)}$ 項を無視できたの^{9), 10)} で、ここでも無視する事にする。

$L^{(2)}$ を一意的に決める方法はないが、適当な $L^{(2)}$ を探す幾つかの鍵はある。まづ $L^{(2)}$ は条件 (4) を満たさねばならない。⁽⁴⁾ のかなり一般的な解として

$$L_{abc}^{(2)}(\vec{k}, \vec{l}) = \frac{1}{2} \sum_{\tau} G^{(\tau)}(\vec{k}, \vec{l}, -\vec{k}-\vec{l}) [k_f \Delta_{fe}(\vec{k}) F_{eb}^{(\tau)}(\vec{k}) M_{ac}^{(\tau)}(-\vec{k}-\vec{l}, \vec{l}) \\ + k_f \Delta_{fe}(\vec{l}) F_{ec}^{(\tau)}(\vec{l}) M_{ab}^{(\tau)}(-\vec{k}-\vec{l}, \vec{k})] \quad (7)$$

が考えられる。ここで $F^{(\tau)}$ は任意関数, $G^{(\tau)}$ は任意対称関数, $M^{(\tau)}$ は条件 $M_{ab}^{(\tau)}(\vec{k}, \vec{l}) = M_{ba}^{(\tau)}(\vec{l}, \vec{k})$ を満すものとする。等方性を仮定すると

$$K_{ab}^{(1)}(\vec{k}) = \Delta_{ab}(\vec{k}) A(\vec{k}) \quad (8)$$

$$\Delta_{ac}(\vec{k}) F_{cb}^{(\tau)}(\vec{k}) = \Delta_{ab}(\vec{k}) F^{(\tau)}(\vec{k})$$

$$G^{(\tau)}(\vec{k}, \vec{l}, -\vec{k}-\vec{l}) = G^{(\tau)}(\vec{k}, \vec{l}, \vec{l}, \vec{k}+\vec{l})$$

と考えてよい。ここに k, l は夫々 $|\vec{k}|, |\vec{l}|$ を表わす。簡単のため $M^{(\tau)}(k, l)$ を対称関数として

$$M_{ab}^{(\tau)}(\vec{k}, \vec{l}) = \Delta_{ac}(\vec{k}) \Delta_{cb}(\vec{l}) M^{(\tau)}(k, l)$$

の様に書けると仮定する。方程式 (6) で $K^{(2)} K^{(2)}$ 項を無視する
と $K^{(2)}$ の形は

$$K_{abc}^{(2)}(\vec{k}, \vec{l}) = \frac{1}{2} \Delta_{ad}(\vec{k}+\vec{l}) [k_e \Delta_{eb}(\vec{k}) \Delta_{cd}(\vec{l}) B(k, l, \vec{k}+\vec{l}) + k_e \Delta_{ec}(\vec{l}) \Delta_{bd}(\vec{k}) B(l, k, \vec{k}+\vec{l})] \quad (9)$$

の様に書ける、ここで

$$B(k, l, \vec{k}+\vec{l}) = \int_0^t e^{-\nu |\vec{k}+\vec{l}|^2(t-t')} \left[\sum_{\tau} F_{(k)}^{(\tau)} M^{(\tau)}(l, \vec{k}+\vec{l}) G^{(\tau)}(\vec{k}, \vec{l}, \vec{k}+\vec{l}) A(\vec{k}+\vec{l}) - A(k) A(l) \right] dt' \quad (10)$$

である。

方程式 (5) で a, b について trace をとり, (8), (9) を用いると,
方程式系

$$(2t + \nu \vec{k}^2) A(\vec{k}) = \int_0^{\infty} dl \int_{|k-l|}^{k+l} dm \alpha_{klm} [A(l) \{ (\beta_{klm}^{(1)} + \beta_{klm}^{(2)}) B(l, k, m) - \beta_{klm}^{(3)} B(m, l, k) \} - \sum_{\tau} F_{(l)}^{(\tau)} M_{(k,m)}^{(\tau)} G_{(k,l,m)}^{(\tau)} \{ \beta_{klm}^{(1)} B(m, l, k) + \beta_{klm}^{(2)} B(l, m, k) \}] \quad (11)$$

$$(\partial_t + \nu |\vec{k} + \vec{l}|^2) B(k, l, |\vec{k} + \vec{l}|) = \sum_{\tau} F^{(\tau)}(k) M^{(\tau)}(l, |\vec{k} + \vec{l}|) G^{(\tau)}(k, l, |\vec{k} + \vec{l}|) A(l, |\vec{k} + \vec{l}|) - A(k) A(l) \quad (12)$$

を得る。ここで

$$\alpha_{klm} = \frac{\pi}{16 k^3 l m} (k^4 + l^4 + m^4 - 2k^2 l^2 - 2l^2 m^2 - 2k^2 m^2)$$

$$\beta_{klm}^{(1)} = l^4 - (l^2 - m^2)^2$$

$$\beta_{klm}^{(2)} = -\{4l^2 m^2 + (k^2 + m^2 - l^2)^2\}$$

$$\beta_{klm}^{(3)} = 2(l^2 - m^2)(l^2 + m^2 - k^2)$$

である。

$L^{(2)}$ を探す次の鍵は、展開近似を良くする事である。即ち比: $B(k, l, |\vec{k} + \vec{l}|)/A(l, |\vec{k} + \vec{l}|)$ を小さくする事と考えられる。以下我々は簡単な選択

$$M^{(1)} = G^{(1)} = 1 \quad G^{(\tau)} = 0 \quad (\tau \neq 1) \quad F^{(1)}(k) = A(k) \quad (13)$$

をとる。方程式 (12) の右辺は $A(k)\{A(l, |\vec{k} + \vec{l}|) - A(l)\}$ となる。これは k の大きい時には $A(k)$ が小さくなり、 k の小さい時には $\{A(l, |\vec{k} + \vec{l}|) - A(l)\}$ が小さくなると考えられるので、あまり大きくはならないだろう。もし $L^{(2)} = 0$ にとった時、この右辺は $-A(k)A(l)$ であるからその相違は明らかである。

エネルギースペクトル関数 $E(k) = 2\pi k^2 \langle u_a u_a \rangle$ は $A(k), B(k, l, m)$ を用いて

$$E(k) = 4\pi k^2 [A^2(k) + \int_0^\infty dl \int_{|k-l|}^{k+l} dm dk dm \{ \beta_{klm}^{(2)} B^2(m, l, k) + \beta_{klm}^{(3)} B(m, l, k) B(l, m, k) \}]$$
の様に表わされる。以下このうちがウス分布からの寄与を $E_u(k)$ と略記する事にする。

§ 3. 方程式(11), (12)の数値積分

方程式(11), (12)を k に就いて inhomogeneous mesh をとり 積分を和にかえ, t に就いて階差方程式として解く。 $\nu = 0.01$ にとり, 特に断わらなければ $\Delta t = 0.01$, mesh points の数 13 にとり, $|k| > 12$ の領域を無視して考える。初期条件としては、代表的な速度、波数が夫々 1, 0.5, 程度のもの、従つて乱れの Reynolds 数が大体 10^2 のものをとる。

最初の一連の計算は初期値を

$$E_1(k) = 4\pi k^2 C_s / (0.5^s + k^s), \quad E_2(k) = 0$$

$$s = 3, 3.5, 4, 4.5 \quad C_3 = 0.01 \quad C_{3.5} = C_4 = C_{4.5} = 0.02 \quad (14)$$

にして行なった。この時特に $|k| > 10$ の領域を無視した。

エネルギースペクトル関数の変化を図 1, 2, 3, 4 に夫々 $s = 3, 3.5, 4, 4.5$ の場合について表わした。これらから領域 $1 < |k| < 2.5$ に対して $s = 3.5$ と $s = 4$ の場合が比較的安定なスペクトルを与える事、更にもうと k の大きい領域では傾斜がある、ときつい事が判る。

2 番目の一連の計算は初期値を

$$E_1(k) = 4\pi k^2 C'_s / [(0.5^{3.7} + k^{3.7})(\gamma^s + k^s)], \quad E_2(k) = 0$$

$$s = 3, 4, 5, 6 \quad C'_3 = 6.5, C'_4 = 45, C'_5 = 313, C'_6 = 2200 \quad (15)$$

にして行なった。 $s = 3, 5, 6$ に対するエネルギースペクトル関数の変化は夫々図 5, 6, 7 に表わした。 $s = 4$ に対するものは、

次の計算の結果である図8と余り変わらない。これらの結果から $S=4$ が比較的安定なスペクトルを与えている事が判る。

3番目の計算は、スペクトルの形を更に詳しく調べるために mesh points の数を 20 に増して、初期値(15) ($S=4$) に就いて行った。エネルギー-スペクトル関数の変化は図8に示した。その形はかなり安定している。領域 $1 < k < 2.8$ ではスペクトル $E(k) \sim k^{-\rho}$ の傾斜は大体一定であり、表Iに示す様に $\rho \sim 1.7$ のまわりで振動する様である。領域 $8 < k < 11$ では傾斜はそれ程明らかではないが表IIに示した。

表I 初期値(15) $S=4$ に対する領域 $1 < k < 2.8$ におけるエネルギー-スペクトル関数 $E(k) \sim k^{-\rho}$ の ρ の値。(3番目の計算による)

t	0.0	0.3	0.6	0.9	1.2	1.5
ρ の最小値	1.56	1.58	1.59	1.59	1.59	1.58
ρ の平均値	1.66	1.70	1.73	1.74	1.74	1.73
ρ の最大値	1.74	1.80	1.83	1.83	1.82	1.83

表II 初期値(15) $S=4$ に対する領域 $8 < k < 11$ におけるエネルギー-スペクトル関数 $E(k) \sim k^{-\sigma}$ の σ の値。(3番目の計算による)

t	0.0	0.2	0.4	0.6
σ の最小値	4.51	4.63	4.22	4.04
σ の平均値	4.74	4.94	4.56	4.28
σ の最大値	5.00	5.11	4.89	4.64

k の小さい領域でのエネルギースペクトル関数の形を調べるために、4番目の一連の計算を初期値

$$E_1(k) = 4\pi k^{2+\gamma} C_\gamma'' / [(0.5^{4+\gamma} + k^{4+\gamma})(\gamma^4 + k^4)], \quad E_2(k) = 0$$

$$\gamma = 0, 1, 2 \quad C_\gamma'' \sim 10 \quad (16)$$

に対して行った。この際 $\Delta t = 0.1$ にとった。 k の小さい処でのエネルギースペクトル関数の変化を表Ⅲに示した。 $t=20$ で約 50% 程度の全エネルギーの減りにも拘らず、 $\gamma = 1, 2$ の場合には、 k の小さい処で $E(k)$ が増加している。この事は $\gamma = 0$ がこの 3 つの中で最も確からしい事を示している。

表Ⅲ 初期値(16)に対する $R(k) = [E(k, t=20) - E(k, t=0)] / E(k, t=0)$ の値。(4番目の計算による)

	$R(0.025)$	$R(0.075)$
$\gamma = 0$ の場合	-0.023	-0.149
$\gamma = 1$ の場合	0.047	0.079
$\gamma = 2$ の場合	0.696	0.660

§4. まとめ

我々は非圧縮性、等方性乱流について、 $\nu = 0.01$ 代表的な速度、波数が夫々 1, 0.5 の場合について調べて来た。今迄の結果から得られる結論としては、

i) ある波数の領域で傾斜が大体一定である様な準定常エネ

ルギースペクトル関数がある。

ii) その傾斜は $1 < k < 2.8$ で $\rho \sim 1.7$ $E(k) \sim k^{-\rho}$ であり、コルモゴロフのスペクトルと一致する。

iii) $8 < k < 11$ ではあまり明確ではないが大体 $E(k) \sim k^{-\sigma}$ ($4 < \sigma < 5$) である。

iv) k の小さい領域では $E(k) \sim k^2$ の方が $E(k) \sim k^3, k^4$ より確かに大きい。従ってロフチャンスキーの積分は多分発散する。というもののである。

$L^{(2)}$ の選択の多様性について一言したい。 $L^{(2)}$ の選択によって結果が変るならば、どの結果が信用されるべきかという疑問が起るかも知れない。しかし $L^{(2)}$ の選択は異なる近似体系を選択する事である。近似の採り方に依って結果が異なるのは当然であり、最も信用されるべき結果は最も良い近似で得られたものであろう。近似の度合を示すものとしては、ガウス項と補正項の比で表わすのが適当であろう。

13とか20とかの mesh は粗いが、この点に関して次の 2 点を述べておきたい。一つは、傾斜を調べるのにかなりの数の mesh points をその領域に含ませてある。例えば第 3 の計算で $1 < k < 2.8$ の領域に 6 つの mesh points を含ませてある。二つめは結果特にエネルギースペクトルの変化の傾向が mesh のとり方にあまり依存しなかった事である。

数値積分は $E_1(k)/E(k)$ の最小値があまり小さくならない時間即ち近似があまり破れない時間だけ行った。‘かなり長時間近似を保つ’といふのはこの時間にエネルギースペクトル関数の変化を知る事ができるかという問題に帰着される。計算は大体この最小値が 0.5~0.7 位を目安としている。例えばオーナーの計算でこの最小値は $1 < k < 2.8$ の領域で $t < 12$ までで 0.64 であり、この間にその領域でのエネルギースペクトルの変化を見る事ができた。

全エネルギーの時間変化については、上の意味でかなり長時間近似を保つ事に成功しなかった。例えばオーナーの計算では $t=1.5$ でエネルギーの減りは僅か 8% 程度であり、オーナーの計算では $t \sim 2$ で $E_1(\text{total})/E(\text{total})$ が既に 50% を割ってしまった。この事情はあるが、各波数領域での変化を見ることは簡単な(13)式の様な $L^{(2)}$ が充分‘くりこみ’の役割を果した。その有効性を見るために、初期値(15) ($S=4$) に対する計算を $L^{(2)}=0$ にとったものについてもやってみた。結果は図 9 に表はされている様に $t=0.6$ までに $4 < k$ の領域で $E_1(k)$ が一度は 0 になってしまふ。これは対応した図 8 における計算で $E_1(k)/E(k)$ の最小値が $k < 12$ で $t=0.6$ まで 0.61 を保つ事を較べられるべきである。

参考文献

- 1) R.H.Cameron and W.T.Martin, Ann. Math. 48 (1947) 385
- 2) N.Wiener, Nonlinear Problems in Random Theory (John Wiley and Sons, Inc., New York, 1958)
- 3) T.Imamura, W.C.Meecham and A.Siegel, J. Math. Phys. 6 (1965) 695
- 4) M.Doi and T.Imamura, Prog. Theor. Phys. 41 (1969) 358
- 5) L.F.G.Simons and C.Salties, Proc. Roy. Soc. A 165 (1938) 73
- 6) M.Uberoi, J. Aero. Sci. 20 (1953) 197
- 7) A.N.Kolmogoroff, C. R. Acad. Sci. U.R.S.S. 30 (1941) 301
- 8) T.Tatsumi, Ranryu (in Japanese) (Maki Press, Japan, 1962)
- 9) S.Tanaka and T.Imamura, Prog. Theor. Phys. 45 (1971) 1098
- 10) M.Yano and T.Imamura, Phys. Fluids 15 (1972)

図の説明

- 図1 初期値(14) $s=3$ に対するエネルギースペクトル関数
- 図2 初期値(14) $s=3.5$ に対するエネルギースペクトル関数
- 図3 初期値(14) $s=4$ に対するエネルギースペクトル関数
- 図4 初期値(14) $s=4.5$ に対するエネルギースペクトル関数
- 図5 初期値(15) $s=3$ に対するエネルギースペクトル関数
- 図6 初期値(15) $s=5$ に対するエネルギースペクトル関数
- 図7 初期値(15) $s=6$ に対するエネルギースペクトル関数
- 図8 初期値(15) $s=4$ に対するエネルギースペクトル関数
- 図9 初期値(15) $s=4$ に対する $E_1(k)/E(k)$ 。 $C^{(1)}$ は $L^{(2)}$ として(13)を採ったもの。 $C^{(2)}$ は $L^{(2)}=0$ に採ったもの。

FIG.1

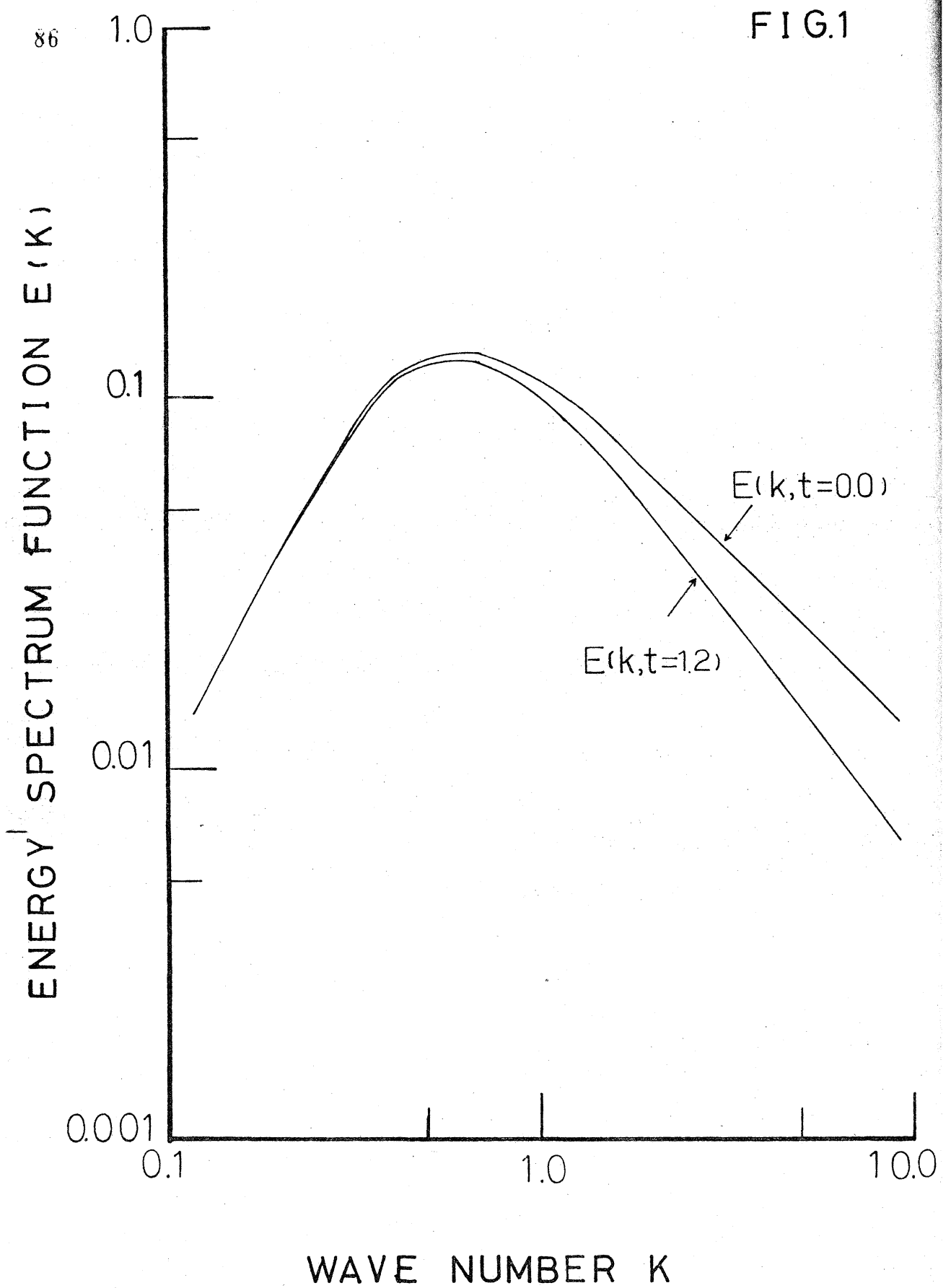


FIG.2
87

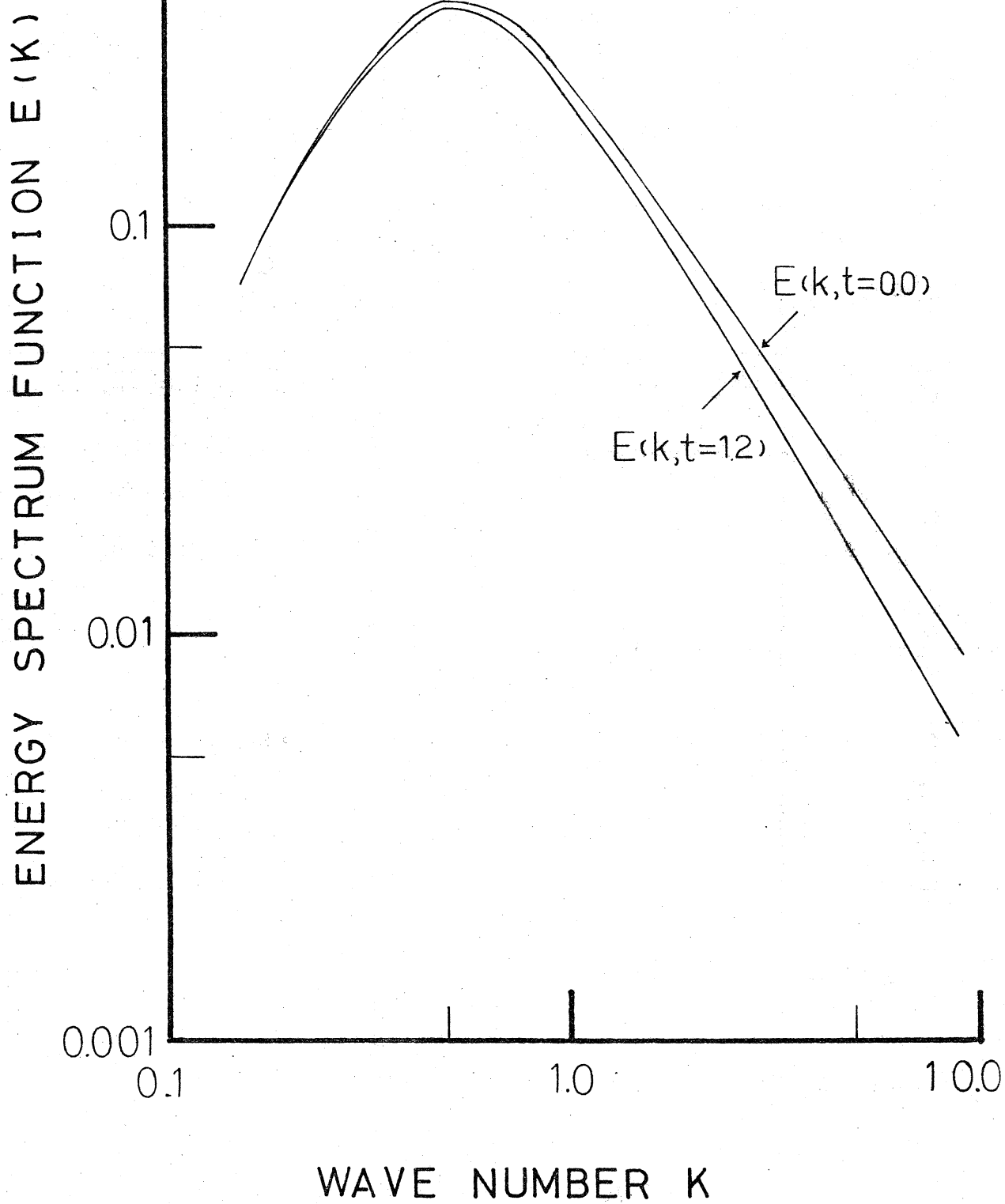


FIG.3

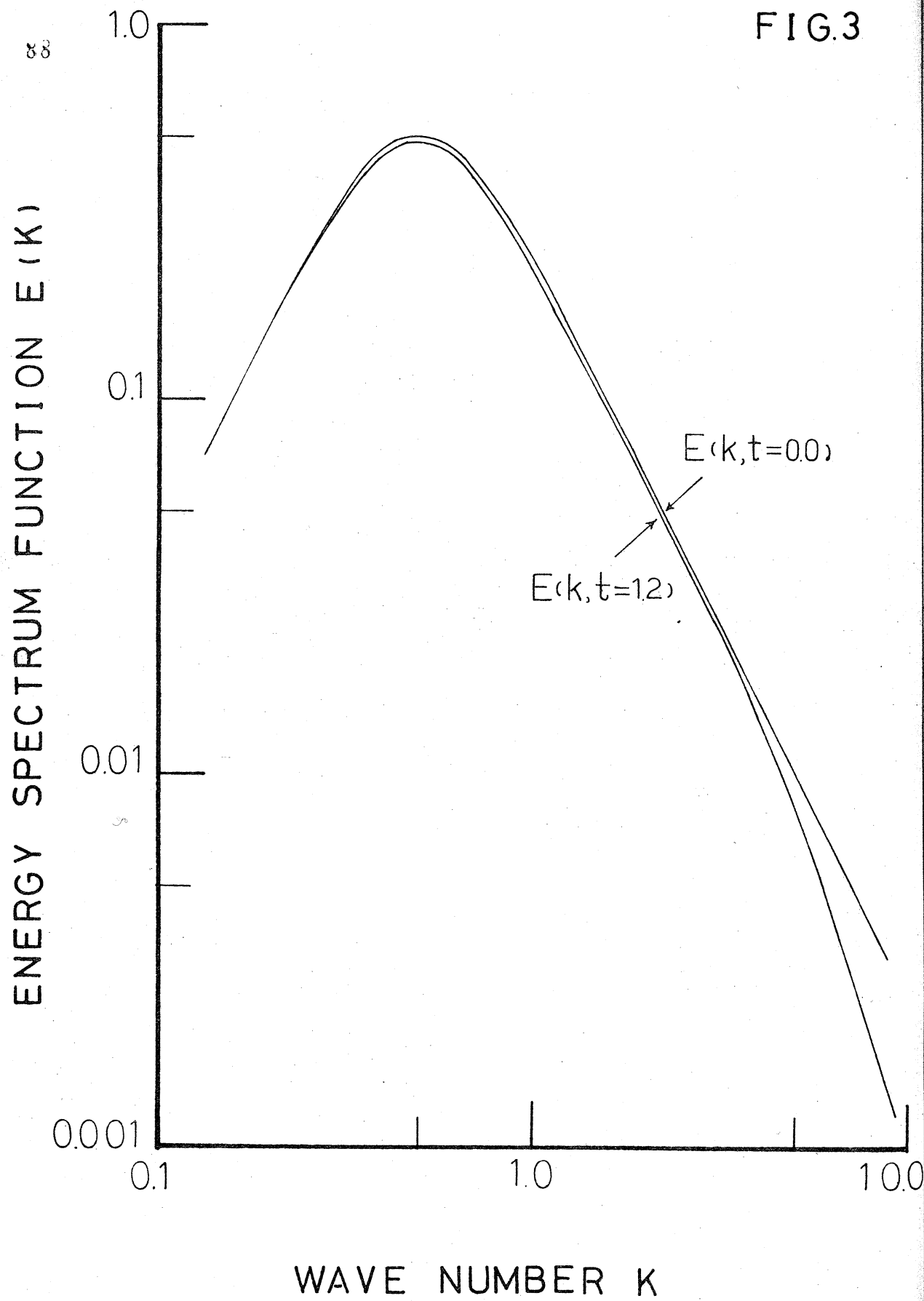


FIG.4
89

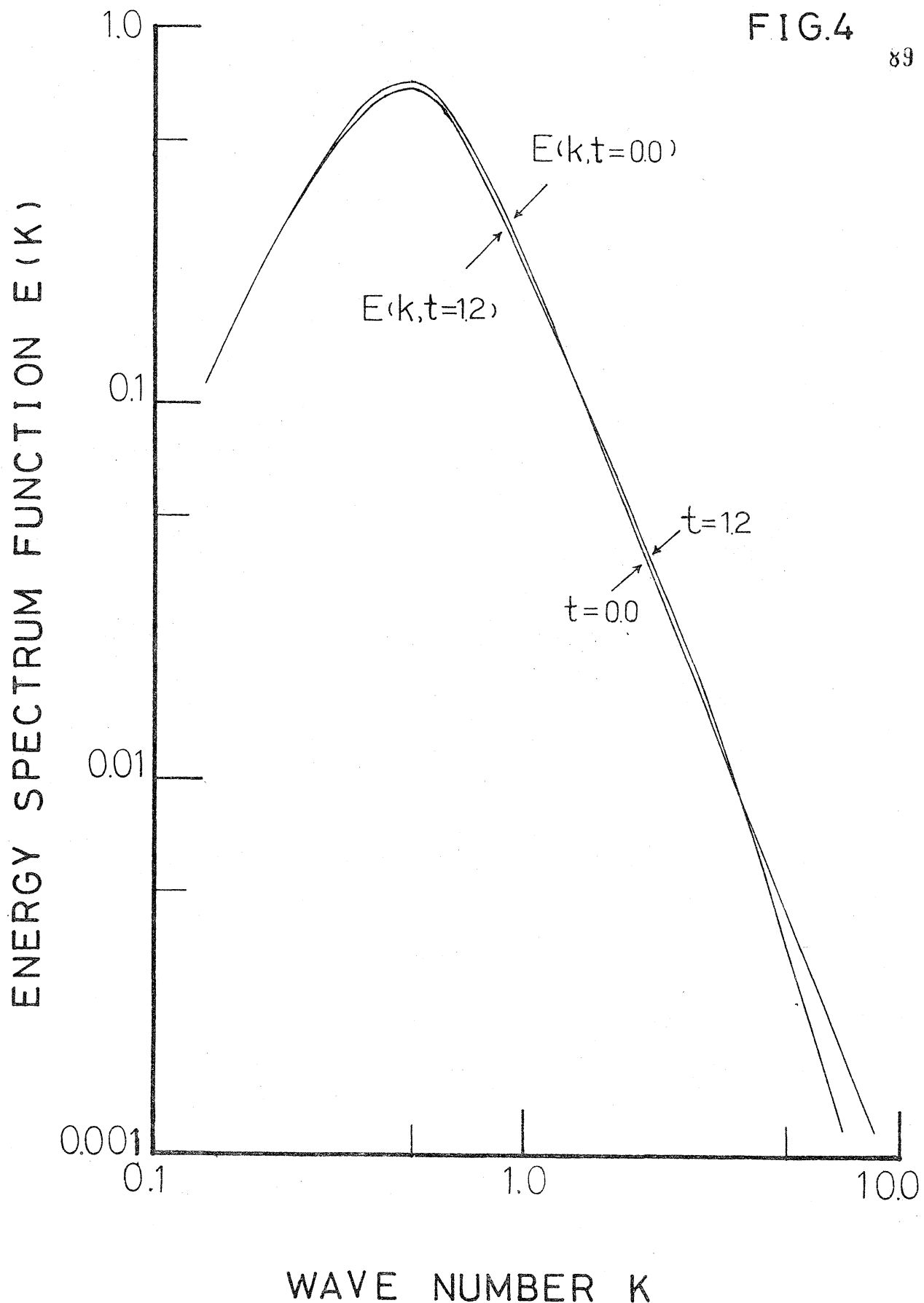


FIG.5

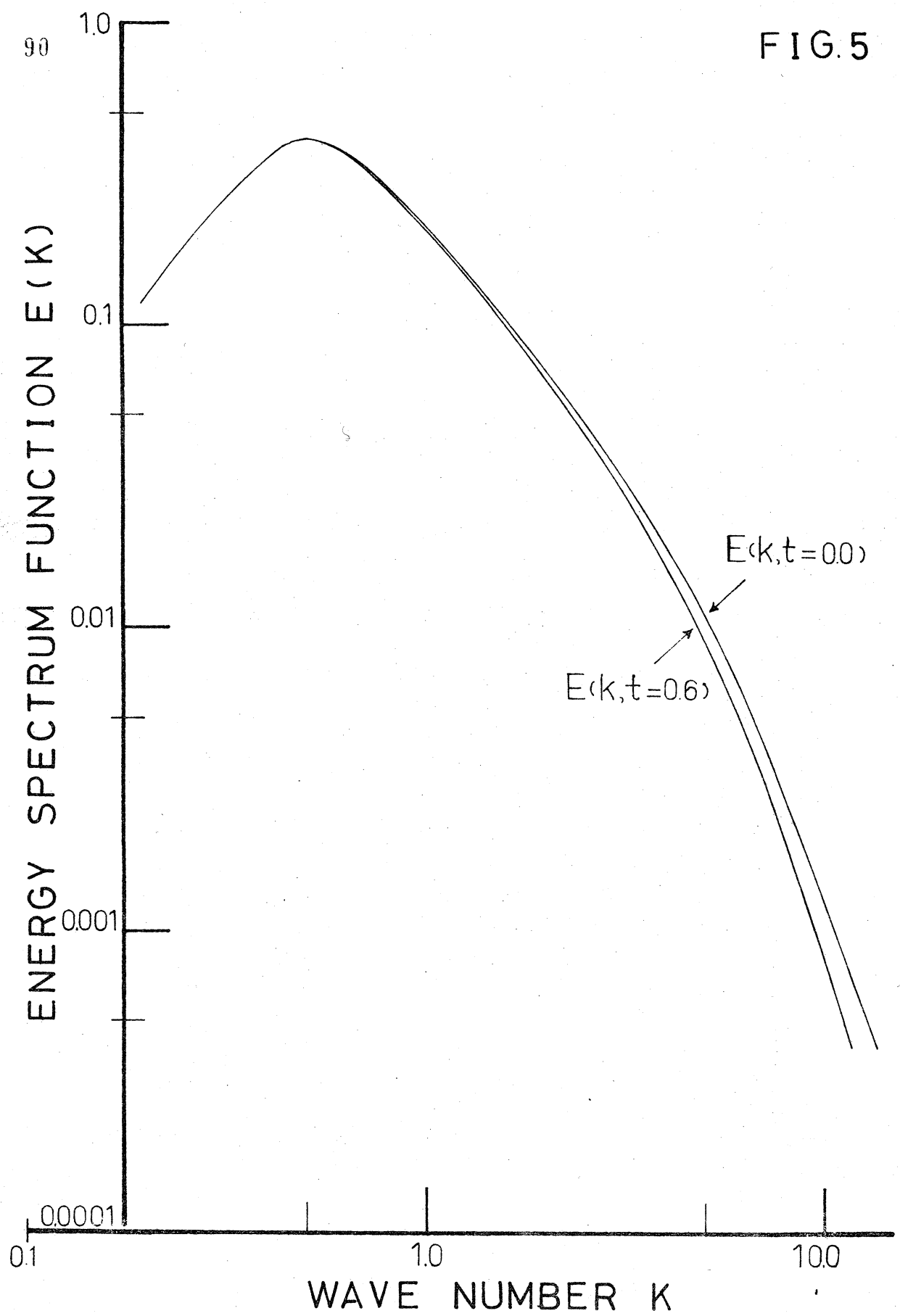


FIG. 6

91

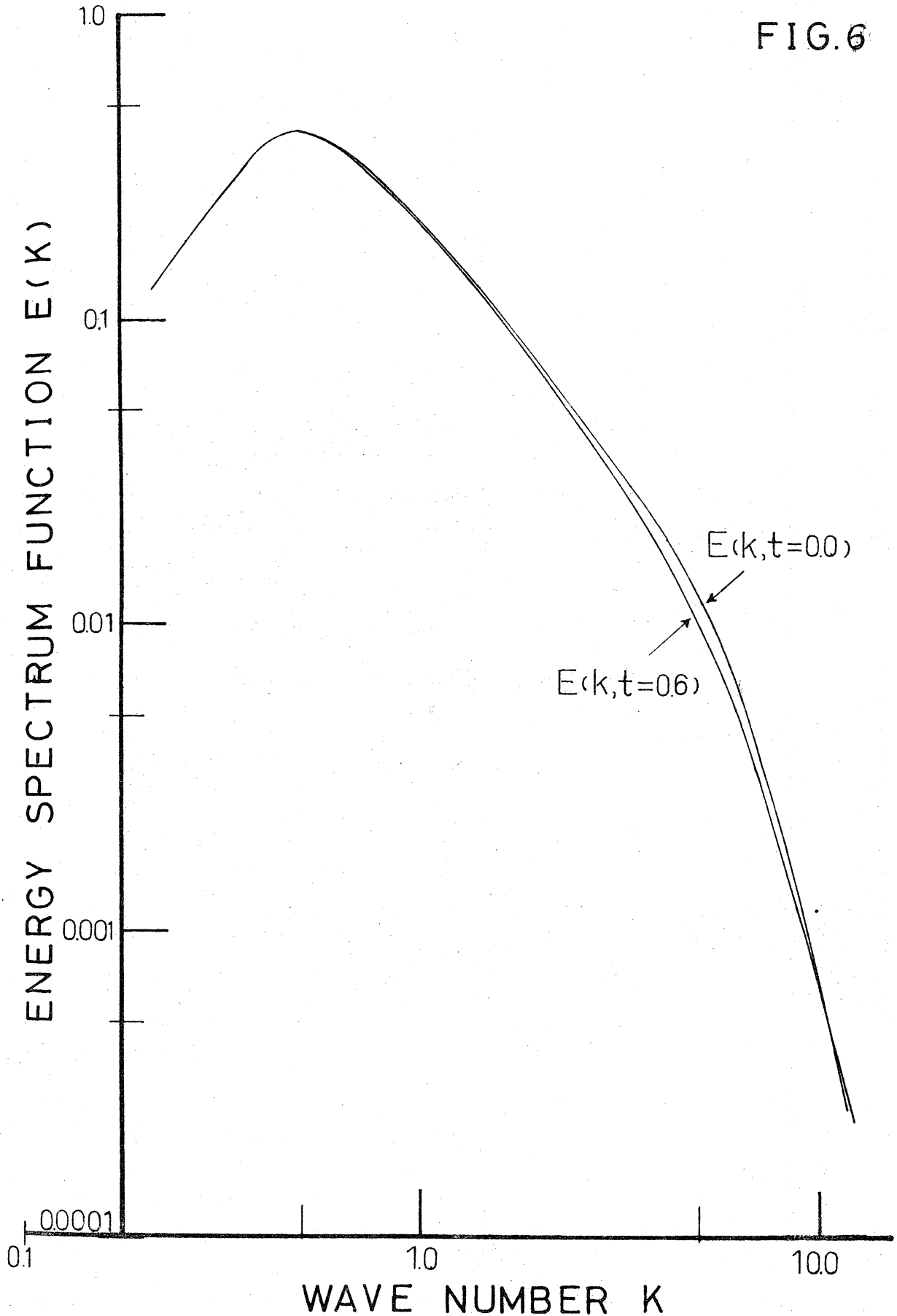


FIG. 7

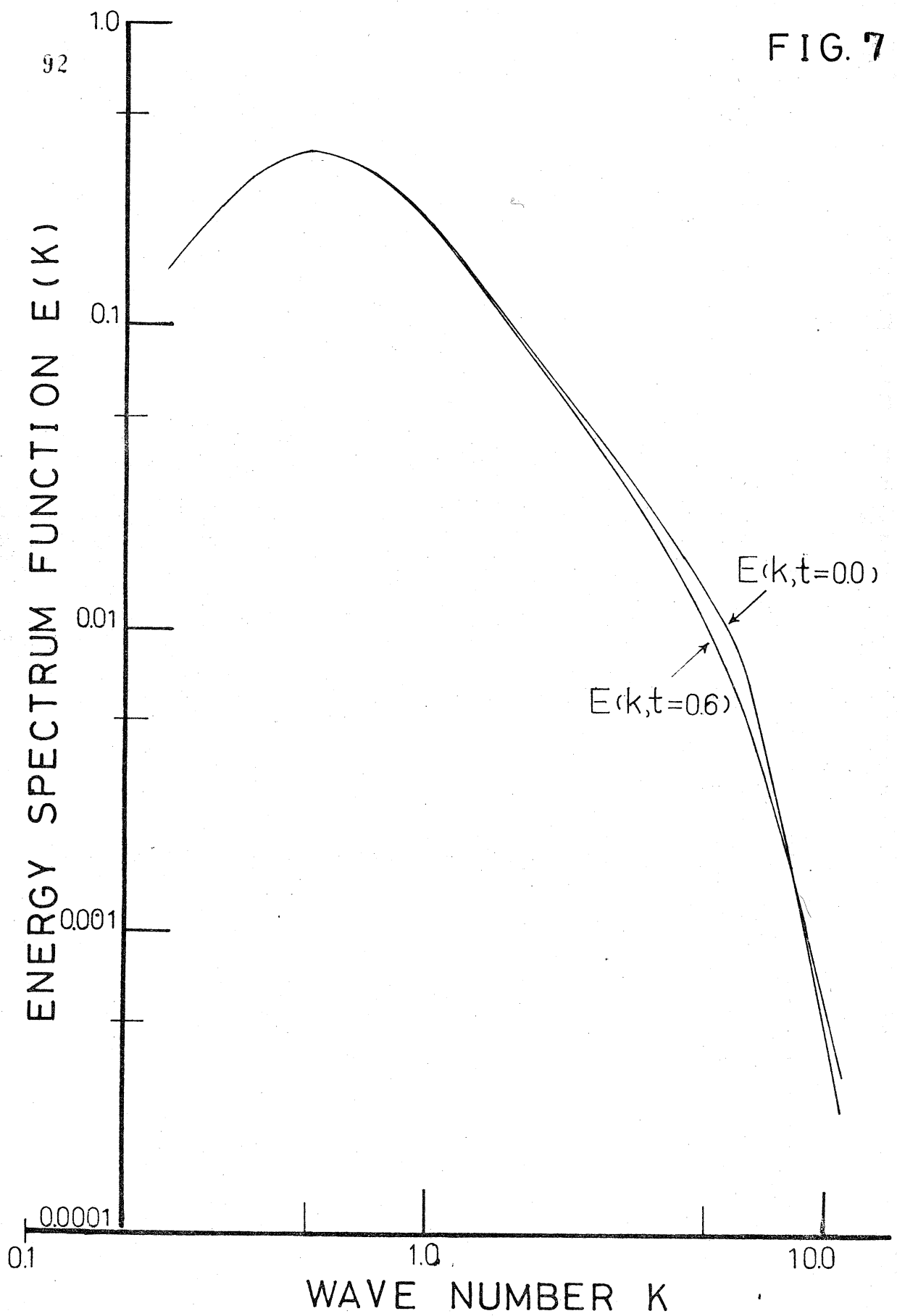


FIG.8

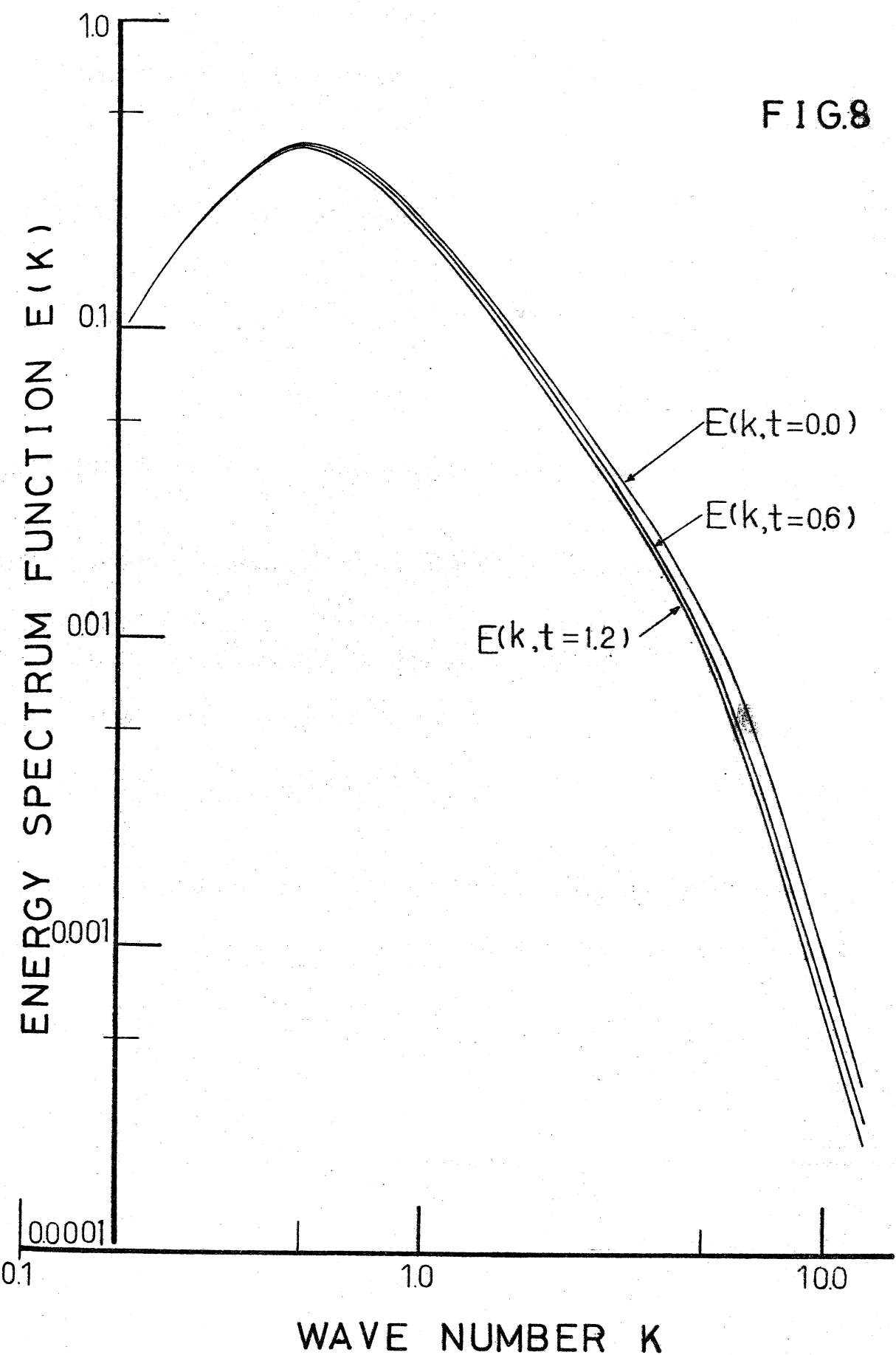


FIG. 9

